

# Трехмерное численное моделирование долгоживущих квантовых вихревых узлов и зацеплений в захваченном бозе-конденсате

В. П. Рубан\*

*Институт теоретической физики им. Л.Д. Ландау РАН,  
142432 Черноголовка, Московская область, Россия*

(Дата: 15 декабря 2024 г.)

Численно в рамках трехмерного уравнения Гросса-Питаевского промоделирована динамика простейших вихревых узлов, “не-узлов” и зацеплений торического типа в атомном бозе-конденсате, находящемся при нуле температуры в анизотропной гармонической ловушке. Обнаружено, что время существования таких квазистационарно вращающихся вихревых структур оказывается весьма долгим в широких областях значений параметров системы. Этот результат находится в качественном соответствии с ранее сделанным предсказанием, основанным на упрощенной одномерной модели, которая приближенно описывает динамику вихревых нитей [В. П. Рубан, ЖЭТФ **153**, 475 (2018)].

**Введение.** Одним из важных направлений в теории холодных бозе-конденсированных атомных газов является изучение динамики и статики квантованных вихревых нитей (см. обзор [1] и цитируемую там литературу). Принято различать вихревые кольца (т. е. замкнутые вихри с простой топологией), собственно вихревые нити в узком смысле слова (когда концы вихрей начинаются и заканчиваются на поверхности конденсатного облака), а также топологически нетривиальные конфигурации – вихревые узлы и зацепления. Сильное влияние на поведение системы оказывает то обстоятельство, что конденсат находится во внешнем потенциале ловушки  $V(\mathbf{r})$  и потому движение вихрей происходит на пространственно неоднородном фоне плотности  $\rho(\mathbf{r})$ . Если по поводу колец и нитей в неоднородных конденсатах проведены многочисленные исследования (см., например, [2–23]), то динамика вихревых узлов до сих пор изучалась в основном при однородной плотности (см. [24–32] и ссылки там). Экспериментальная методика по приготовлению узлов и зацеплений в конденсатах также пока не разработана. Только совсем недавно в работе [33] на основе длинноволнового гидродинамического приближения (в пренебрежении потенциальными возмущениями) были теоретически рассмотрены простейшие вихревые узлы в захваченных осесимметричных конденсатах. Форма каждого такого узла в цилиндрических координатах описывается комплекснозначной,  $2\pi P$ -периодической по азимутальному углу  $\varphi$  функцией  $A(\varphi, t) = Z(\varphi, t) + iR(\varphi, t)$ . Было сделано предсказание, что если максимум функции  $r\rho(z, r)$  в цилиндрических координатах локально изотропен [матрица вторых производных в точке экстремума  $(Z_*, R_*)$  пропорциональна единичной матрице  $2 \times 2$ ], а параметр локальной индукции велик,  $\Lambda = \ln(R_*/\xi_*) \gg 1$  [где  $\xi_*$  – ширина кора вихря, соответствующая равновесной плотности  $\rho_* = \rho(Z_*, R_*)$ ], то в таком конденсате достаточно “малоамплитудные”

торические вихревые узлы должны быть устойчивыми. Применимость теории ограничена условиями

$$\xi_* \ll |A_n - A_m| \ll R_*, \quad |A_n - A_*| \ll R_*, \quad (1)$$

где  $A_n(\varphi, t) = A(\varphi + 2\pi n, t)$ ,  $n = 0, 1, \dots, P - 1$ . Выберем масштаб длин и начало координат так, чтобы было  $R_* = 1$ ,  $Z_* = 0$ . Предсказание об устойчивости простейших торических узлов следует из приближенной системы уравнений, которой подчиняется динамика функций  $W_n(\varphi, t) = \sqrt{\Lambda}(A_n - i)$  в случае, когда упомянутая матрица вторых производных равна  $-\text{Diag}(\alpha - \epsilon, \alpha + \epsilon)$  (см. подробный вывод в [33]):

$$\frac{i}{\Lambda} W_{n,t} = -\frac{1}{2}[W_{n,\varphi\varphi} + \alpha W_n - \epsilon W_n^*] - \sum_{j \neq n} \frac{1}{W_n^* - W_j^*}. \quad (2)$$

Эта же система, но с другими граничными условиями при  $\varphi = 0$  и  $2\pi$ , способна описывать движение и нескольких вихревых нитей с полным числом  $P$  оборотов вокруг оси  $z$ . Можно проверить, что в случае  $\epsilon = 0$  при  $P \leq 6$  все решения вида

$$A_n = i + C_0 \exp(i\alpha\Lambda t/2) + B_0 \exp\left(\frac{2\pi in}{P} + \frac{iQ}{P}\varphi - it\Omega(Q, P, B_0)\right), \quad (3)$$

с постоянными  $B_0$  и  $C_0$ , являются устойчивыми. При  $C_0 = 0$  такие решения соответствуют стационарно вращающимся торическим узлам – если целые числа  $Q$  и  $P$  взаимно простые, “не-узлам” (unknots) – если  $Q = 1$ , либо зацеплениям – когда  $Q$  и  $P$  имеют общие множители. При отличных от нуля  $\epsilon$  в плоскости параметров  $(\alpha, B_0)$  появляются полосы неустойчивости, узкие в меру малости  $\epsilon$ .

Ясно, что в действительности картина не может быть столь идеальной, особенно в случае не слишком больших значений  $\Lambda$  и при учете поправок, не вошедших в уравнения (2). Кроме того, не следует забывать, что вихри взаимодействуют с потенциальными степенями свободы. Поэтому максимум, на что можно рассчитывать, – это достаточно долгое, но все-же конечное время жизни вихревых узлов и зацеплений в

---

\*Electronic address: ruban@itp.ac.ru

квазистационарном режиме. Возможность существования долгоживущих вихревых структур указанного типа в реальных бозе-конденсатах представляется гипотезой, заслуживающей серьезного внимания. Целью данной работы является ее численная проверка в рамках уравнения Гросса-Питаевского как более точной трехмерной модели разреженного бозе-газа при нуле температуры.

**Численный метод.** Пусть для простоты потенциал ловушки квадратичен. Тогда надлежащим образом обезразмеренное уравнение Гросса-Питаевского для конденсатной волновой функции имеет вид

$$i\psi_t = -\frac{1}{2}\Delta\psi + \frac{1}{\xi^2} \left[ \frac{1}{2}(x^2 + y^2 + az^2) - \frac{3}{2} + |\psi|^2 \right] \psi. \quad (4)$$

Здесь присутствуют всего два безразмерных параметра — анизотропия ловушки  $a$  и малая относительная ширина кора вихря  $\xi \ll 1$ . Заметим, что внутри конденсата имеет место приближенное равенство

$$\rho(z, r) \approx 3/2 - (r^2 + az^2)/2. \quad (5)$$

Условной границей конденсата является эллипсоид  $r^2 + az^2 = 3$ . Вычисление вторых производных для  $r\rho(z, r)$  в точке  $Z_* = 0, R_* = 1$  дает  $\alpha = (3 + a)/2$ ,  $\epsilon = (3 - a)/2$ , т. е. параметр  $\epsilon$  равен нулю при  $a = 3$ . Это соответствует сплюснутому облаку с отношением размеров  $1/\sqrt{3}$ .

Уравнение (4) моделировалось численно с однородным пространственным разрешением  $256^3$  точек в кубической области  $(2\pi/1.6)^3$  с центром в начале координат и периодическими граничными условиями. Указанный размер куба ( $L \approx 4$ ) обеспечивал достаточное спадание амплитуды волновой функции вблизи его границы и в то же время конденсат с поперечным размером  $2\sqrt{3} \approx 3.5$  занимал значительную часть вычислительной области. Таким образом, расстояние между узлами решетки было около  $1/60$ . Поскольку на длину  $\xi$  должно приходиться достаточное число узлов решетки, а с другой стороны,  $\xi$  обязана быть мала для возможности сопоставления результатов с аналитической теорией, бралось значение  $1/\xi^2 = 200 \cdot 2.56$ , что соответствует  $\xi \approx 1/22.5$  и параметру локальной индукции  $\Lambda \approx 3$ .

Для продвижения по времени использовался широко применяемый в подобных системах фурье-метод расщепленного шага (Split-Step Fourier Method) второго порядка аппроксимации. Гамильтониан системы и ее интеграл волнового действия сохранялись с точностью до 4-х десятичных знаков на протяжении времени моделирования  $T_{\text{sim}} > 30$ .

В качестве начальной формы вихря бралось выражение (3) с  $t = 0$ ,  $C_0 = 0$  и с добавлением небольших азимутальных возмущений к  $B_0$ :

$$B_0 \longrightarrow B_0 + 0.002 \cdot \sum_{m=1}^5 \cos(m\varphi + \gamma_m), \quad (6)$$

где  $\gamma_{1,2,3,4,5} = 3, 5, 8, 13, 21$ . Эти возмущения нарушают симметрию и служат дополнительными “зародышами” для развития возможных неустойчивостей.

Кроме того, компьютерные вычисления показали, что для обеспечения режима квазистационарности лучше вместо первого слагаемого  $i$  в правой части (3) брать меньшую величину, примерно  $0.9i$ . Это соответствует меньшему радиусу тора, чем предсказывает теория. По всей видимости, уменьшение равновесного радиуса связано со смещением максимума функции  $\Lambda(z, r)r\rho(z, r)$ , описывающей энергию соосного вихревого кольца, причем множитель  $\Lambda(z, r)$  при умеренных значениях  $\Lambda \sim 3$  уже не может полагаться почти константой, как это делалось при выводе приближенных уравнений (2).

Чтобы задать начальное комплексное поле  $\psi_0 = \psi(x, y, z, t = 0)$ , по возможности не содержащее потенциальных возмущений (которые сильно нарушали бы фон плотности в дальнейшем), но содержащее только вихрь, использовалась специальная процедура. На первом ее этапе  $\psi_0$  задавалась более-менее подходящей аналитической формулой, которая грубо соответствует условию  $|\psi_0|^2 \approx 3/2 - (r^2 + az^2)/2$  и точно соответствует наличию особенности фазы — вихревого узла заданной конфигурации. Пространственное же распределение фазы, разумеется, было далеко от оптимального. На втором этапе процедуры на некоторое время запускалась чисто диссипативная эволюция, которая состояла в замене  $i \longrightarrow -1$  в левой части уравнения (4). При этом в правой части к гармоническому потенциалу ловушки добавлялся фиктивный короткодействующий (пиннингующий) потенциал вблизи линии вихря, который препятствовал уходу вихря с заданной кривой. За счет диссипативного этапа достигалось значительное уменьшение амплитуд жестких потенциальных мод системы на основном ее масштабе, неизбежно возбужденных в результате использования вышеупомянутой достаточно произвольной аналитической формулы. После этого время обнулялось и включалась консервативная динамика в соответствии с уравнением (4).

Для визуализации формы вихря в процессе его движения (через определенные промежутки времени) записывались координаты всех тех узлов решетки внутри эллипсоида  $3/2 - (r^2 + az^2)/2 = 0.3$ , в которых  $|\psi|^2 < 0.05$ . Ясно, что такие точки находятся внутри кора вихря. По ним анализировалась динамика и делались рисунки, подобные Рис.1.

**Результаты.** Численные эксперименты были проведены для пар  $(P, Q) = (2, 3)$  — (узел-трилистник),  $(2, 2)$  — (простейшее зацепление двух колец) и для  $(2, 1)$  — (не-узел, представляющий собой сложенную вдвое окружность). Значения  $a$  брались из набора  $\{1.4, 2.0, 2.5, 3.0\}$ , а параметр  $B_0$  — из набора  $\{0.09, 0.12, 0.15, 0.18\}$ . Квазистационарный режим в динамике особенно четко наблюдался в случае трилистника при  $a = 3.0, B_0 = 0.12$  и при  $a = 1.4, B_0 = 0.15$ , а в случае зацепления двух колец — при

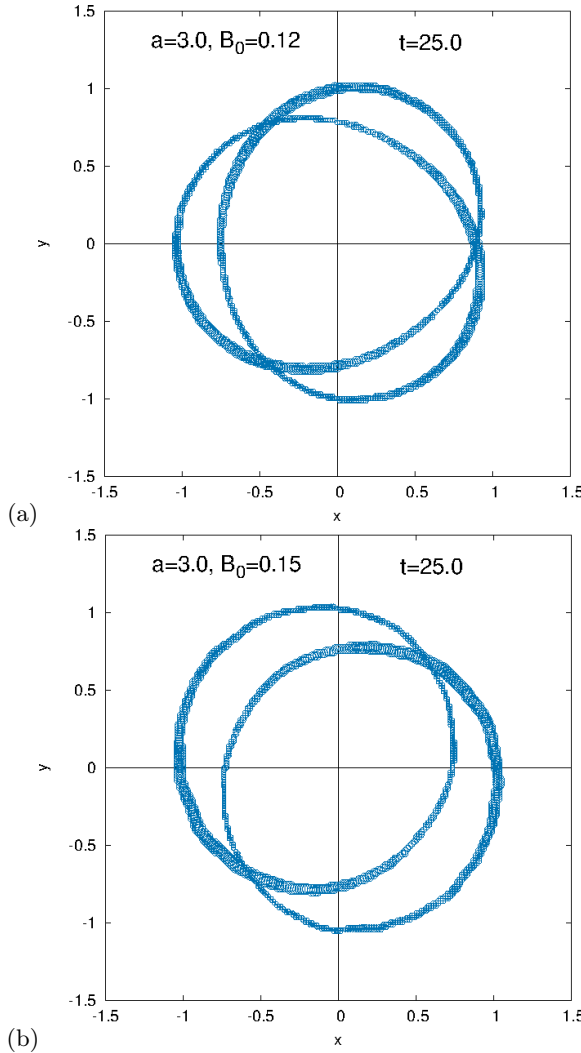


Рис. 1: Проекции квазистойчивых вихревых структур на плоскость  $(x, y)$  в случае  $a = 3.0$  при достаточно большом  $t$ : а) узел-трилистник; б) простейшее зацепление двух колец. Каждый рисунок состоит из многих маленьких окружностей с центрами в найденных численно точках решетки внутри кора вихря. С целью однозначного определения топологии вихревой структуры, радиус каждой такой окружности сделан тем большим, чем больше значение соответствующей  $z$ -координаты.

$a = 2.0, B_0 = 0.15$ . Но и во многих других случаях деформация вихрей нарастала достаточно медленно, так что достигалось большое время жизни  $T_{\text{life}} \gtrsim 20$  (для сравнения — характерное время оборота вихрей  $\tau \approx 4\pi B_0^2 \lesssim 0.3$ ). Наименее устойчивыми оказались не-узлы. Их время жизни не превышало 10. Однако надо иметь в виду, что пока еще далеко не все возможные комбинации параметров были перепробованы, поскольку трехмерное моделирование происходит весьма небыстро — несколько дней на один прогон. Понятно, что такое исследование не может считаться исчерпывающим. Более детальная проработка парамет-

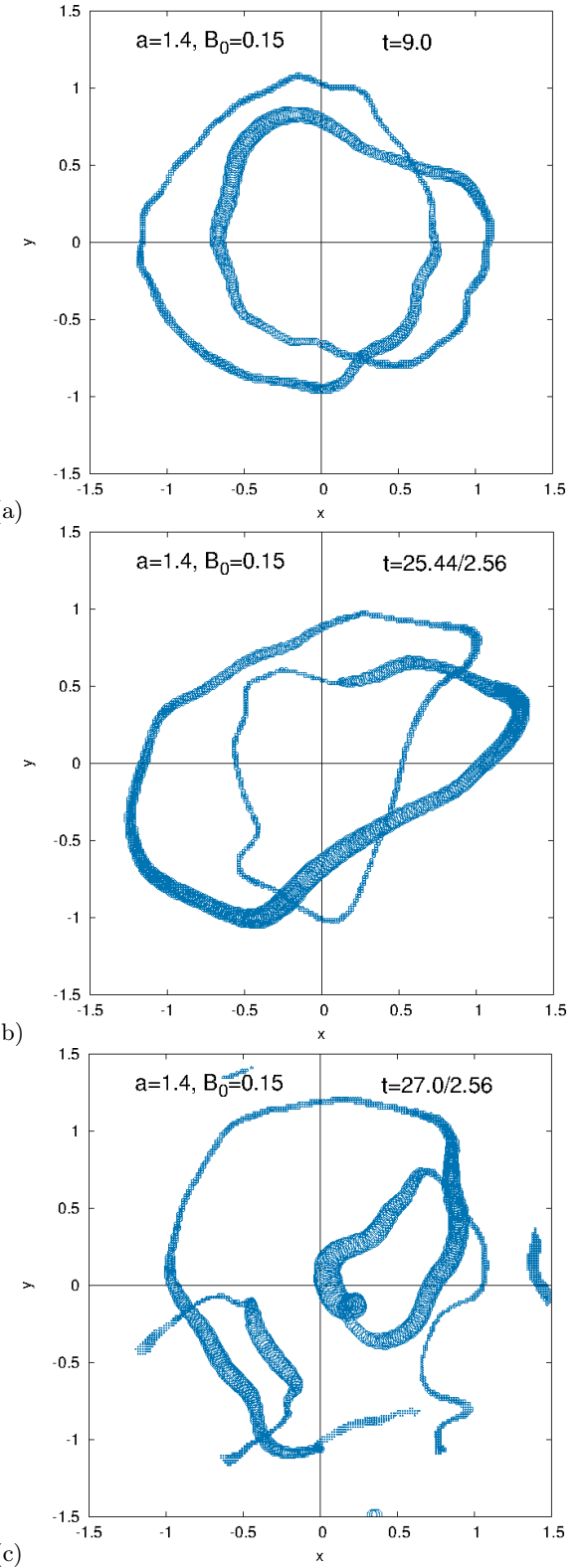


Рис. 2: Зацепление двух колец в случае  $a = 1.4$  оказалось неустойчивым: а) сильная деформация; б) изменение топологии в результате пересоединения; в) образование вихревых нитей с концами на поверхности конденсата.

рической плоскости ( $a, B_0$ ) для каждого типа вихревых структур потребует массированных вычислений с мелким шагом по параметру  $B_0$ . По крайней мере, о необходимости мелкого шага порядка  $\Delta B_0 \sim 0.001$  свидетельствует опыт изучения неустойчивостей вихревых узлов и зацеплений в однородной сверхтекучей жидкости [31, 32].

В целом результаты компьютерного моделирования подтвердили возможность существования долгоживущих квантовых вихревых узлов и зацеплений в модели Гросса-Питаевского с квадратичным внешним потенциалом. В деталях, однако, были отмечены некоторые различия между приближенной теорией и численным экспериментом. Кроме уменьшения среднего радиуса квазистационарного тора, о чём упоминалось ранее, фактические параметры  $\alpha$  и  $\epsilon$  также изменились, в результате чего иногда даже при  $a = 3$  наблюдалась неустойчивость (при  $B_0 = 0.15$  и  $0.09$  в случае трилистника). Зато при  $a \neq 3$  вихри часто были вполне долгоживущими, хотя на них и могли появляться с течением времени возбуждения в виде волн Кельвина. И, разумеется, во всех случаях имели место потенциальные движения в конденсате, выглядящие как дрожащая рыбка на статическом фоне плотности.

Развитие неустойчивости на примере зацепления двух колец показано на Рис.2. Деформация неустой-

чивых вихрей сначала постепенно нарастает, а затем они пересоединяются. Дальнейшая эволюция довольно быстро (а иногда – со значительной задержкой) приводит к выходу некоторых их участков на поверхность, разрыву и образованию вихревых нитей. Возможен также сценарий, когда разрыв вихря на поверхности случается до внутреннего перезамыкания. Нити уменьшаются в длине за счет взаимодействия с потенциальными степенями свободы, вырождаются в полуокольца и в конце концов покидают конденсат. Ввиду подобного стремления вихрей к выходу из конденсатного облака, долгоживущие квазистационарные структуры представляются еще более нетривиальными объектами.

**Заключение.** Проведенные в данной работе численные эксперименты со всей определенностью свидетельствуют в пользу ранее выдвинутой гипотезы о возможности длительного существования квазистационарных топологически нетривиальных вихревых структур в захваченных бозе-конденсатах. Более подробное выяснение границ областей устойчивости потребует дальнейших массированных вычислений. Заметим еще, что при  $P \geq 3$  далеко не все узлы сводятся к торическим, так что задача на будущее — найти долгоживущие конфигурации среди таких узлов, как “восьмерка”, “бабий узел” и др.

- 
- [1] A. L. Fetter, Rev. Mod. Phys. **81**, 647 (2009).
  - [2] A. A. Svidzinsky and A. L. Fetter, Phys. Rev. A **62**, 063617 (2000).
  - [3] A. L. Fetter and A. A. Svidzinsky, J. Phys.: Condens. Matter **13**, R135 (2001).
  - [4] V. P. Ruban, Phys. Rev. E **64**, 036305 (2001).
  - [5] A. Aftalion and T. Riviere, Phys. Rev. A **64**, 043611 (2001).
  - [6] J. Garcia-Ripoll and V. Perez-Garcia, Phys. Rev. A **64**, 053611 (2001).
  - [7] A. Aftalion and R. L. Jerrard, Phys. Rev. A **66**, 023611 (2002).
  - [8] P. Rosenbusch, V. Bretin, and J. Dalibard, Phys. Rev. Lett. **89**, 200403 (2002).
  - [9] A. Aftalion and I. Danaila, Phys. Rev. A **68**, 023603 (2003).
  - [10] A. Aftalion and I. Danaila, Phys. Rev. A **69**, 033608 (2004).
  - [11] I. Danaila, Phys. Rev. A **72**, 013605 (2005).
  - [12] A. Fetter, Phys. Rev. A **69**, 043617 (2004).
  - [13] T.-L. Horng, S.-C. Gou, and T.-C. Lin, Phys. Rev. A **74**, 041603 (2006).
  - [14] S. Serafini, M. Barbiero, M. Debortoli, S. Donadello, F. Larcher, F. Dalfonso, G. Lamporesi, and G. Ferrari, Phys. Rev. Lett. **115**, 170402 (2015).
  - [15] R. N. Bisset, W. Wang, C. Ticknor, R. Carretero-Gonzalez, D. J. Frantzeskakis, L. A. Collins, and P. G. Kevrekidis, Phys. Rev. A **92**, 063611 (2015).
  - [16] В. П. Рубан, Письма в ЖЭТФ **103**, 878 (2016).
  - [17] В. П. Рубан, Письма в ЖЭТФ **104**, 875 (2016).
  - [18] В. П. Рубан, ЖЭТФ **151**, 1092 (2017).
  - [19] В. П. Рубан, Письма в ЖЭТФ **106**, 208 (2017).
  - [20] S. Serafini, L. Galantucci, E. Iseni, T. Biennaime, R. N. Bisset, C. F. Barenghi, F. Dalfonso, G. Lamporesi, and G. Ferrari, Phys. Rev. X **7**, 021031 (2017).
  - [21] R. N. Bisset, S. Serafini, E. Iseni, M. Barbiero, T. Biennaime, G. Lamporesi, G. Ferrari, and F. Dalfonso, Phys. Rev. A **96**, 053605 (2017).
  - [22] W. Wang, R. N. Bisset, C. Ticknor, R. Carretero-Gonzalez, D. J. Frantzeskakis, L. A. Collins, and P. G. Kevrekidis, Phys. Rev. A **95**, 043638 (2017).
  - [23] C. Ticknor, W. Wang, and P. G. Kevrekidis, arXiv:1807.10721
  - [24] R. L. Ricca, D. C. Samuels, and C. F. Barenghi, J. Fluid Mech. **391**, 29 (1999).
  - [25] F. Maggioni, S. Alamri, C. F. Barenghi, and R. L. Ricca, Phys. Rev. E **82**, 026309 (2010).
  - [26] D. Proment, M. Onorato, and C. F. Barenghi, Phys. Rev. E **85**, 036306 (2012).
  - [27] D. Kleckner and W. T. M. Irvine, Nature Physics **9**, 253 (2013).
  - [28] D. Proment, M. Onorato, and C. F. Barenghi, J. Phys.: Conf. Ser. **544**, 012022, (2014).
  - [29] P. Clark di Leoni, P. D. Mininni, and M. E. Brachet, Phys. Rev. A **94**, 043605 (2016).
  - [30] D. Kleckner, L. H. Kauffman, and W. T. M. Irvine, Nature Physics **12**, 650 (2016).
  - [31] В. П. Рубан, Письма в ЖЭТФ **107**, 325 (2018).
  - [32] В. П. Рубан, ЖЭТФ **154**, 679 (2018).
  - [33] В. П. Рубан, ЖЭТФ **153**, 475 (2018).